

FI-204 Aspectos da Teoria de Campos em Física da Materia Condensada

O modelo de Ising quântico

¶ A transformação de Jordan-Wigner

Nestas notas, apresentamos um problema famoso: o modelo de Ising com campo transverso, conhecido também como modelo de Ising quântico. Ele é exatamente resolúvel em 1 – dim. O modelo é formulado com os operadores de Pauli do spin (spin 1/2), com o Hamiltoniano para uma cadeia de spins acoplados dado por

$$\mathcal{H} = - \sum_n \sigma_z(n) - \lambda \sum_n \sigma_x(n)\sigma_x(n+1) , \quad (1)$$

onde ($\sigma_x, \sigma_y, \sigma_z$) são os operadores de Pauli e o índice n rotula o sítio do spin numa cadeia com condições periódicas de contorno. O parâmetro λ (mais propriamente $1/\lambda$) é chamado de “campo transverso” e representa o acoplamento entre as componentes σ_x de spins vizinhos. O primeiro termo de (1) fornece a ação de um campo externo na direção transversa σ_z . Na ausência desse termo, o Hamiltoniano (1) representaria o modelo de Ising clássico. Dado que as componentes (σ_x, σ_z) não comutam, o sistema está sujeito a flutuações quânticas.

Consideramos $2N + 1$ sítios, com

$$n = -N, (-N+1), \dots, -1, 0, 1, \dots (N-1), N .$$

é cómodo introduzir os operadores escadas para o spin

$$\sigma^+(n) = \frac{1}{2} [\sigma_x(n) + i \sigma_y(n)] ,$$

$$\sigma^-(n) = \frac{1}{2} [\sigma_x(n) - i \sigma_y(n)] .$$

A solução exata é obtida passando para a versão fermiônica do Hamiltoniano (1), através da transformação de Jordan-Wigner. Definimos portanto operadores fermiônicos da forma

►Def.

$$\begin{aligned} c(n) &\equiv \prod_{j=-N}^{n-1} \exp [i\pi\sigma^+(j)\sigma^-(j)] \sigma^-(n) , \\ \sigma^\dagger(n) &\equiv \sigma^+(n) \prod_{j=-N}^{n-1} \exp [-i\pi\sigma^+(j)\sigma^-(j)] . \end{aligned} \quad (2)$$

Em (2), os operadores escadas são modificados por um operador não local (*soliton*) que ajusta uma fase.

§ Matrizes de Pauli

$$\sigma_x(n), \sigma_y(n), \sigma_z(n)$$

a) Para o mesmo sítio, $n' = n$:

$$\{\sigma_i(n), \sigma_j(n)\} = 0, \text{ para } i \neq j,$$

$$\sigma_i^2(n) = 1;$$

b) Comutação de Momentum Angular

$$[\sigma_i(n), \sigma_j(n')] = 2i \delta_{n,n'} \epsilon_{ijk} \sigma_k(n)$$

c) Operadores escada :

$$\sigma^+(n) \equiv \frac{1}{2} [\sigma_x(n) + i\sigma_y(n)]$$

$$\sigma^-(n) \equiv \frac{1}{2} [\sigma_x(n) - i\sigma_y(n)]$$

Satisfazem:

i) $[\sigma^-(n)]^2 = 0, [\sigma^+(n)]^2 = 0$,
como fermions

ii) para $n \neq n'$, tipo bósons

$$[\sigma^+(n), \sigma^-(n')] = [\sigma^+(n), \sigma^+(n')] = [\sigma^-(n), \sigma^-(n')] = 0$$

§ Solução exata do modelo de Ising quântico

Usar Hamiltoniano equivalente

$$H = - \sum_i \sigma_i^z(n) - \lambda \sum_n \sigma_i^z(n) \sigma_i^z(n+1)$$

$(\sigma_1, \sigma_2, \sigma_3)$ são os operadores associados com as matrizes de Pauli
 $i=1,2,3 (x, y, z)$

Passar para os operadores de subida e descida do spin

$$\sigma^+(n) \equiv \frac{1}{2} [\sigma_1(n) + i \sigma_2(n)],$$

$$\sigma^-(n) \equiv \frac{1}{2} [\sigma_1(n) - i \sigma_2(n)],$$

$$\text{com } \sigma^z(n) = [\sigma^+(n)]^\dagger$$

n rotula o sítio da rede (1-dim)

$$n = -N, -N+1, \dots, 0, 1, \dots, N \quad (2N+1 \text{ sitios})$$

► Transformações de Jordan-Wigner

Definimos operadores de fermions:

$$C(n) \equiv \prod_{j=-N}^{n-1} \exp[i\pi \sigma_j^+ \sigma_{j+1}^-] \sigma^-(n) \quad (1)$$

$$C^\dagger(n) = \sigma^+(n) \prod_{j=-N}^{n-1} \exp[-i\pi \sigma_j^+ \sigma_{j+1}^-] \quad (2)$$

Essencialmente, são operadores de descida ou subida modificados por uma fase que carrega um "string"

Os operadores (σ^+, σ^-) anti-comutam no mesmo sítio e os quadrados são nulos, muito parecidos com operadores de fermions. Falta ajustar a anti-comutação em sitos diferentes. Isso é feito com as fases extras.

Para spin $\frac{1}{2}$, temos as identidades abaixo

$$\sigma^-(n) \sigma^+(n) = \frac{1}{2} [1 - \sigma_3(n)] \quad (3)$$

$$\sigma^+(n) \sigma^-(n) = \frac{1}{2} [1 + \sigma_3(n)] \quad (4)$$

$$\exp\left(i\frac{\pi}{2}\sigma_3\right) = \cos\frac{\pi}{2} \cdot 1 + i \sigma_3 \sin\frac{\pi}{2} = i\sigma_3 \quad (5)$$

Assim, escrevemos

$$C(n) = \prod_{j=-N}^{n-1} \exp\left\{i\frac{\pi}{2}[1 + \sigma_3(j)]\right\} \sigma^-(n)$$

$$= \prod_{j=-N}^{n-1} [i^2 \sigma_3(j)] \sigma^-(n)$$

$$= \prod_{j=N}^{n-1} [-\sigma_3(j)] \sigma^-(n)$$

$$C(n)^+ = \sigma^+(n) \prod_{j=-N}^{n-1} [-\sigma_3(j)]$$

¶ Os operadores (c, c^\dagger) definidos acima, satisfazem as relações de anti-comutação de férmions. Obtemos também a transformação inversa (os σ 's em função dos c 's).

O Hamiltoniano (1) na representação fermiônica é dado por:

$$\begin{aligned} \mathcal{H} = & - \sum_n [2c^\dagger(n)c(n) - 1] - \\ & - \lambda \sum_n [c^\dagger(n) - c(n)] [c^\dagger(n+1) + c(n+1)]. \end{aligned} \quad (3)$$

$$\begin{aligned}
 & \sigma^+(m) \left\{ [-\sigma_3(m)] [-\sigma_3(m+1)] \cdots [-\sigma_3(m-1)] \right\} \bar{\sigma}(n) \\
 &= - [\sigma_3(m)] \sigma^+(m) \overbrace{[-\sigma_3(m+1) \cdots [-\sigma_3(m-1)]]}^{\sigma^+(m)} \bar{\sigma}(n) \\
 &= - \prod_{j=m}^{m-1} [\sigma_3(j)] \sigma^+(m) \bar{\sigma}(n)
 \end{aligned}$$

$$\sigma^+(m) \bar{\sigma}(n) = \frac{1}{2} + \frac{1}{2} \sigma_3(n)$$

$$\bar{\sigma}(n) \sigma^+(m) = \frac{1}{2} - \frac{1}{2} \sigma_3(n)$$

Agora é fácil verificar que os (c, c^\dagger) satisfazem relações de anti-comutação de fermions. Seja $m < n$

$$\{c(n), c^+(m)\} = c(n)c^+(m) + c^+(m)c(n)$$

$$= \prod_{j=-N}^{n-1} [-\sigma_3(j)] \bar{\alpha}(n) \alpha^+(m) \prod_{i=-N}^{m-1} [-\sigma_3(i)] +$$

$$+ \alpha^+(m) \prod_{j=-N}^{m-1} [-\sigma_3(j)] \prod_{i=-N}^{n-1} [-\sigma_3(i)] \bar{\alpha}(n)$$

$$= \bar{\alpha}(n) \prod_{j=m}^{n-1} [\sigma_3(j)] \alpha^+(m) + \alpha^+(m) \prod_{j=m}^{n-1} [\sigma_3(j)] \bar{\alpha}(n)$$

$$= \prod_{j=m}^{n-1} [\sigma_3(j)] \bar{\alpha}(n) \alpha^+(m) - \prod_{j=m}^{n-1} [\sigma_3(j)] \alpha^+(m) \bar{\alpha}(n)$$

e como para sitios diferentes $(\alpha^+, \bar{\alpha})$ comutam,

$$\{c(n), c^+(m)\} = 0, \quad m < n$$

Seja agora $m = n$

$$\{c(n), c^+(n)\} = \prod_{j=-N}^{n-1} [\sigma_3(j)] \bar{\alpha}(n) \alpha^+(n) \prod_{i=-N}^{n-1} [-\sigma_3(i)] + \dots$$

$$= \bar{\alpha}(n) \alpha^+(n) + \alpha^+(n) \bar{\alpha}(n) = \frac{1}{2} - \frac{1}{2} \sigma_3(n) + \frac{1}{2} + \frac{1}{2} \sigma_3(n)$$

$$= 1$$

De maneira que

$$\{C(n), C^+(m)\} = \delta_{nm}$$

Também temos $\{C(n), C(m)\} = 0$, $m < n$

$$= \prod_{j=N}^{n-1} [-\sigma_3(j)] \alpha^-(n) \prod_{i=-N}^{m-1} [\sigma_3(i)] \alpha^-(m)$$

$$+ \prod_{i=-N}^{m-1} [-\sigma_3(i)] \alpha^-(m) \prod_{j=-N}^{n-1} [-\sigma_3(j)] \alpha^-(n)$$

$$= \alpha^-(n) \prod_{j=-m}^{n-1} [-\sigma_3(j)] \alpha^-(m) +$$

$$+ \alpha^-(m) \prod_{j=-m}^{n-1} [-\sigma_3(j)] \alpha^-(n)$$

$$= \prod_{j=-m}^{n-1} [-\sigma_3(j)] \alpha^-(n) \alpha^-(m)$$

$$- \prod_{j=-m}^{n-1} [\sigma_3(j)] \alpha^-(m) \alpha^-(n) = 0$$

e para sitios diferentes $\alpha^-(n) \alpha^-(m) = \sigma^-(m) \alpha^-(n)$

Precisamos agora escrever o Hamiltoniano em termo das variáveis fermiônicas. Os termos de acoplamento são do tipo

$$\sigma_1(n) \sigma_1(n+1) = [\alpha^+(n) + \alpha^-(n)] [\alpha^+(n+1) + \sigma^-(n+1)]$$

Aqui precisamos da transformação inversa da de Jordan-Wigner. Vejamos

$$C^{\dagger}(n) C(n) = \alpha^+(n) \cdot \prod_{j=-N}^{n-1} \exp[i\pi \alpha^+(j) \alpha^-(j)] \cdot \prod_{j=-N}^{n-1} \exp[i\pi \alpha^+(j) \alpha^-(j)] \cdot \alpha^-(n)$$

$$= \alpha^+(n) \alpha^-(n) = \frac{1}{2} [1 + \sigma_3(n)]$$

$= N(n)$ operador número de fermion
(0, 1),

de maneira que a transformação invertida tem a forma

$$\alpha^-(n) = \prod_{j=-N}^{n-1} \exp[i\pi C^{\dagger}(j) C(j)] C(n)$$

$$\alpha^+(n) = C(n) \prod_{j=-N}^{n-1} \exp[i\pi C^{\dagger}(j) C(j)]$$

Consideremos termos:

$$\alpha^+(n) \alpha^-(n+1) = C^{\dagger}(n) \prod_{j=-N}^{n-1} \exp[i\pi C^{\dagger}(j) C(j)] \prod_{j=-N}^n \exp[i\pi C^{\dagger}(j) C(j)] C(n)$$

$$= C^{\dagger}(n) \exp[i\pi C^{\dagger}(n) C(n)] C(n+1)$$

$$\exp[i\pi C^{\dagger}(n) C(n)] = \exp(i\pi [\frac{1}{2} + \sigma_3(n)])$$

$$= -\sigma_3(n) = 1 - 2 C^{\dagger}(n) C(n) \checkmark$$

$$= C^+(n) \left[1 - 2C^+(n)C(n) \right] C(n+1)$$

$$= C^+(n) C(n+1), \quad \text{porque } [C^+(n)]^2 = 0$$

$$\text{Assim: } C^+(n) C(n+1) = \alpha^+(n) \alpha^-(n+1)$$

Vamos calcular outro termo:

$$\alpha^-(n) \alpha^-(n+1) = \prod_{j=-N}^{n-1} \exp[i\pi C_j^+ C_j^-] C(n).$$

$$\cdot \prod_{j=-N}^n \exp[i\pi C_j^+ C_j^-] C(n+1)$$

$$= \prod_{j=-N}^{n-1} \exp[-i\pi C_j^+ C_j^-] \prod_{j=N}^{n-1} \exp[i\pi C_j^+ C_j^-] \times \\ \times C(n) (1 - 2C^+(n)C(n)) C(n+1)$$

$$= C(n) C(n+1) - 2 \underbrace{C(n) C^+(n) C(n) C(n+1)}_{C(n)} \\ = - C(n) C(n+1) \checkmark$$

Os outros resultados são:

$$\alpha^+(n) \alpha^+(n+1) = + C^+(n) C^+(n+1)$$

$$[\alpha^-(n) \alpha^-(n+1)]^+ = \alpha^-(n+1) \alpha^-(n)$$

$$\alpha^-(n) \alpha^+(n+1) = - C(n) C^+(n+1)$$

Em total, o Hamiltoniano na rep. fermiônica

fica:

$$\mathcal{H} = - \sum_n [2c^\dagger(n)c(n) - 1] - \lambda \sum_n [c^\dagger(n) - c(n)][c^\dagger(n+1) + c(n+1)]$$

Este Hamiltoniano é quadrático e pode ser diagonalizado em forma exata.

Passar primeiro para a representação de Fourier

$$a_k = \frac{1}{\sqrt{2N+1}} \sum_{n=-N}^N e^{ikn} c(n),$$

$$\text{com } k = 0, \pm \frac{2\pi}{2N+1}, \dots, \pm \frac{2\pi N}{2N+1}$$

usando condições periódicas de contorno

$$e^{i k (2N+1)} = 1$$

Transformações inversas:

$$c(n) = \frac{1}{\sqrt{2N+1}} \sum_k e^{-ikn} a_k$$

$$c^\dagger(n) = \frac{1}{\sqrt{2N+1}} \sum_k e^{ikn} a_k^\dagger$$

A transformada de Fourier é uma Transf. Canônica e preserva as relações de anti-comutacões (fermions):

¶ O Hamiltoniano (3) é quadrático, mas ainda não é diagonal. Preliminarmente, passamos para a representação de Fourier dos operadores

$$a_k \equiv \frac{1}{\sqrt{2N+1}} \sum_{n=-N}^N c(n) \exp(ikn) ,$$

onde se acoplam os modos $(k, -k)$ (de maneira semelhante ao problema reduzido de BCS !).

(a) **Resposta:** Note o índice $k > 0$ nas somatórias

$$\begin{aligned} \mathcal{H} = & -2 \sum_{k>0} (1 + \lambda \cos k) \left(a_k^\dagger a_k + a_{-k}^\dagger a_{-k} \right) + \\ & + 2i\lambda \sum_{k>0} \sin k \left(a_k^\dagger a_{-k}^\dagger + a_k a_{-k} \right) . \end{aligned} \quad (4)$$

$$\mathcal{F} = - \sum_n \left[2 c_{(n)}^+ c_{(n)} - 1 \right] -$$

$$- \lambda \sum_n \left[c_{(n)}^+ c_{(n+1)} - c_{(n)} c_{(n+1)}^+ \right]$$

$$- \lambda \sum_n \left[c_{(n)}^+ c_{(n+1)}^+ - c_{(n)} c_{(n+1)} \right]$$

or

$$\mathcal{H} = - \sum_n \left[2 c_{(n)}^+ c_{(n)} - 1 \right] -$$

$$- \lambda \sum_n \left[c_{(n)}^+ c_{(n+1)} + c_{(n+1)}^+ c_{(n)} \right]$$

$$- \lambda \sum_n \left[c_{(n+1)} c_{(n)} + c_{(n)}^+ c_{(n+1)}^+ \right]$$

$$\{a_k^+, a_k\} = \delta_{kk}$$

$$\{a_k, a_k\} = \{a_k^+, a_k^+\} = 0$$

Transformamos para os operadores (a, a^+) :

$$\sum_n c^+(n) c^+(n+1) = \sum_k e^{-ik} a_k^+ a_{-k}^+$$

$$\begin{aligned} \sum_n c^+(n) c(n+1) &= \frac{1}{2N+1} \sum_n \sum_k \sum_{k'} e^{ikn} e^{-ik'(n+1)} \\ &\quad + a_k a_{k'} \\ &= \sum_{k, k'} \delta_{kk'} e^{-ik} a_k^+ a_{k'} = \sum_k e^{-ik} a_k^+ a_k \end{aligned}$$

$$\begin{aligned} \sum_n c(n) c^+(n+1) &= \frac{1}{2N+1} \sum_n \sum_k \sum_{k'} e^{-ikn} e^{ik(n+1)} a_k a_{k'}^+ \\ &= \sum_{k, k'} \delta_{kk'} e^{ik} a_k a_{k'} = \sum_k e^{ik} a_k a_k^+ \end{aligned}$$

$$\begin{aligned} \sum_n c(n) c(n+1) &= \frac{1}{2N+1} \sum_n \sum_k \sum_{k'} e^{-ikn} e^{-ik(n+1)} a_k a_{k'} \\ &= \sum_{k, k'} \delta_{k, -k'} e^{-ik} a_k a_{k'} = \sum_k e^{-ik} a_k a_{-k} \end{aligned}$$

$$\rightarrow a_k a_k^+ = 1 - a_k^+ a_k$$

Para o termo diagonal, temos:

$$\sum_n C^+(n)C(n) = \frac{1}{2N+1} \sum_{m=1}^{2N+1} \sum_k \sum_{k'} e^{ikn} e^{-ik'm} a_k^+ a_{k'}$$

$$= \sum_{k \neq k'} \delta_{kk'} a_k^+ a_{k'} = \sum_k a_k^+ a_k$$

$$H = -2 \sum_k a_k^+ a_k + \sum_m 1$$

$$- \lambda \sum_k (e^{-ik} a_k^+ a_k + e^{ik} a_k^+ a_k)$$

$$+ \lambda \sum_k [e^{-ik} (1 - a_k^+ a_k) + e^{ik} a_k^+ a_k]$$

$$H = - \sum_k (2 + 2\lambda \cos k) a_k^+ a_k$$

$$- 2 \sum_k (e^{-ik} a_k^+ a_k + e^{ik} a_k^+ a_k)$$

+ cte.

Para simetrizar, somamos apenas sobre os modos com $k > 0$

$$H = -2 \sum_k (1 + \lambda \cos k) a_k^+ a_k +$$

$$+ 2i\lambda \sum_{k>0} \sin k (a_k^+ a_k + a_k a_k^+)$$

que mostra explicitamente que o Hamiltoniano é hermitiano

O Hamiltoniano tem a forma:

$$\mathcal{H} = \sum_{\mathbf{k}} \epsilon(\mathbf{k}) a_{\mathbf{k}}^+ a_{\mathbf{k}} +$$

$$+ \sum_{\mathbf{k} > 0} V(\mathbf{k}) (a_{\mathbf{k}}^+ a_{-\mathbf{k}}^+ + a_{\mathbf{k}} a_{-\mathbf{k}}) ,$$

com

$$\left\{ \begin{array}{l} \epsilon(\mathbf{k}) = -2(1 + \lambda \cos k) , \\ V(\mathbf{k}) = 2i\lambda \sin k . \end{array} \right.$$

¶ Para diagonalizar o Hamiltoniano acima (4), usamos o método da equação de movimento e a Transformação de Bogoliubov. O espectro de quase-partícula é obtido através de um problema de autovalores. As excitações sobre o estado fundamental estão separadas por um *gap* Δ_0 , que depende parametricamente do campo transverso λ . Encontramos o valor crítico λ_C , onde o *gap* se anula. Calculamos também o expoente crítico β que fornece o comportamento perto do valor crítico

$$\Delta_0(\lambda) \sim |\lambda - \lambda_C|^\beta .$$

Fnalmente, obtemos os parâmetros (u_k, v_k) de Bogoliubov em forma fechada.

Procurar eq's de mov. Seja $k > 0$

$$[\mathcal{H}, a_k] = -2(1 + \lambda \cos k) [a_k^+ a_k, a_k]$$

$$+ 2i\lambda \sin k \left\{ [a_k^+ a_{-k}^+, a_k] + [a_k a_{-k}, a_k] \right\}$$

Calcular em termo de anti-comutadores:

$$[AB, C] = ABC - CAB = ABC + ACB - ACB - CAB$$

$$= A\{B, C\} - \{A, C\}B$$

$$[a_k^+ a_k, a_k] = a_k^+ [\overbrace{a_k, a_k}^0] - [\overbrace{a_k^+, a_k}^1] a_k = -a_k$$

$$[a_k^+ a_{-k}^+, a_k] = - [\overbrace{a_k^+, a_k}^1] a_{-k}^+ = -a_{-k}^+$$

$$[a_k a_{-k}, a_k] = 0$$

$$[\mathcal{H}, a_k] = 2(1 + \lambda \cos k) a_k - 2i\lambda \sin k \underline{a_k^+}$$

Como seria no caso diagonal?

$$[\mathcal{H}, b_k] = \varepsilon_k [b_k^+ b_k, b_k] = -\varepsilon_k b_k$$

$$[\mathcal{H}, a_k] = - [a_k^+, \mathcal{H}] = 2(1 + \lambda \cos k) a_k + 2i\lambda \sin k \underline{a_{-k}^+}$$

Vemos nas equações de mov. que temos acoplamento entre

$$(a_k, a_{-k}^+) \text{ e } (a_k^+, a_{-k})$$

Propomos então transformação canônica do tipo.

► Def. Transformação de Bogoliubov

$$\left\{ \begin{array}{l} \eta_k = u_k a_k + i v_k a_{-k}^+, \\ \eta_k^+ = u_k a_k^+ - i v_k a_{-k} \end{array} \right.$$

com coeficientes (u_k, v_k) reais $\left\{ \begin{array}{l} u_{-k} = u_k \\ v_{-k} = -v_k \end{array} \right.$

i.e.

$$\left\{ \begin{array}{l} \eta_{-k} = u_k a_{-k} - i v_k a_k^+ \\ \eta_{-k}^+ = u_k a_{-k}^+ + i v_k a_k \end{array} \right.$$

Podemos mostrar que a transf. acima é canônica, com a condição

$$u_k^2 + v_k^2 = 1$$

$$\begin{aligned} \{\eta_k, \eta_b^+\} &= \{u_k a_k + i v_k a_{-k}^+, u_b a_b^+ - i v_b a_{-b}\} \\ &= u_k u_b \{a_k, a_b^+\} + v_k v_b \{a_{-k}, a_{-b}\} \\ &= \delta_{kb} (u_k^2 + v_k^2) \end{aligned}$$

Equações de autovalores:

$$[\gamma_l, \eta_k] = -\lambda_k \eta_k = -\lambda_k (u_k a_k + i v_k a_{-k}^+)$$

$$= u_k [\gamma_l, a_k] + i v_k [\gamma_l, a_{-k}^+]$$

$$= u_k \left[2(1 + \lambda \cos k) a_k - 2i \lambda \sin k a_{-k}^+ \right] + \\ + i v_k \left[-2(1 + \lambda \cos k) a_{-k}^+ + 2i \lambda \sin k a_k \right]$$

Obtemos as equações lineares homogêneas:

$$\begin{cases} 2(1 + \lambda \cos k) u_k - 2\lambda \sin k v_k = -\Lambda_k u_k \\ -2\lambda \sin k u_k - 2(1 + \lambda \cos k) v_k = -\Lambda_k v_k \end{cases}$$

Temos soluções não-triviais para:

$$\begin{vmatrix} \Lambda_k + 2(1 + \lambda \cos k) & -2\lambda \sin k \\ -2\lambda \sin k & \Lambda_k - 2(1 + \lambda \cos k) \end{vmatrix} = 0,$$

ou para

$$\Lambda_k^2 - 4(1 + \lambda \cos k)^2 - 4\lambda^2 \sin^2 k = 0$$

com autovalores:

$$\Lambda_k = \pm 2 \sqrt{1 + \lambda^2 + 2\lambda \cos k}$$

Como Λ_k é a energia de uma "quase-partícula" criada acima do estado fundamental, só faz sentido a solução positiva

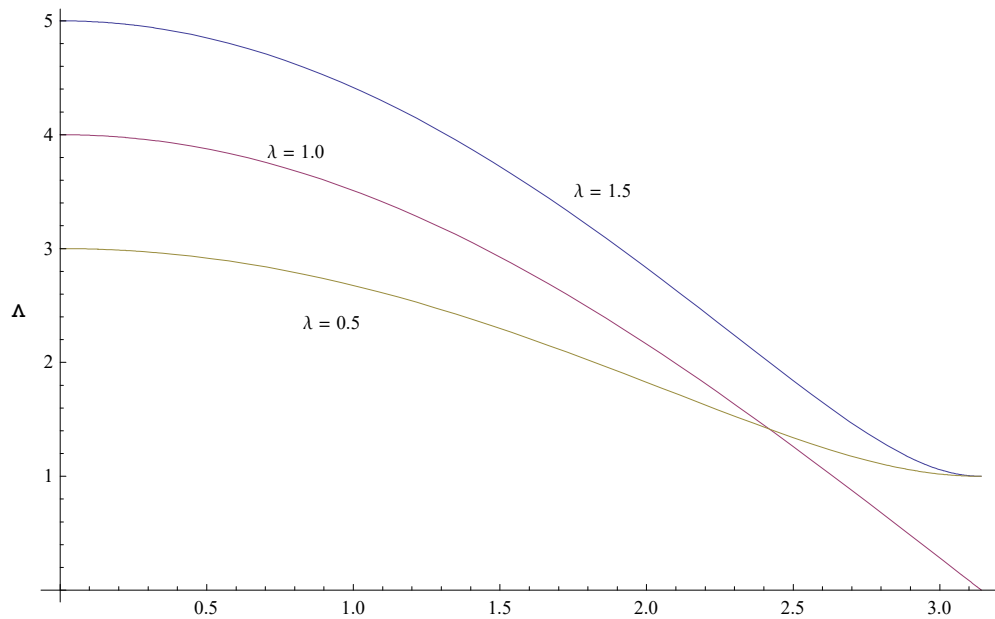
$$\Lambda_k = 2 \sqrt{1 + \lambda^2 + 2\lambda \cos k} \geq 0$$

* Transverse Ising Model, energy of excitations *

$$\Delta[k, \lambda] = 2 \sqrt{1 + \lambda^2 + 2 \lambda \cos[k]}$$

$$\text{Out}[1]= 2 \sqrt{1 + \lambda^2 + 2 \lambda \cos[k]}$$

Plot[{\Delta[k, 1.5], \Delta[k, 1.0], \Delta[k, 0.5]}, {k, 0., \pi}]



Antes de encontrarmos a função de onda do estado fundamental, vamos a discutir este resultado. A relação de dispersão para as quase-partículas tem um mínimo para $k = \pm \pi$, onde

$$\Lambda_{k=\pm\pi} = 2|1-\lambda|$$

Este é o gap de massa associado com a quase-partícula do campo. O gap se anula em $\lambda = 1$, com expoente crítico $\nu = 1$. Para a região crítica, estudamos o comportamento do espectro na vizinhança de $k = \pm \pi$. Medindo o momentum a partir de π , escrevemos

$$k = \pi + k'a.$$

Definimos também uma densidade de energia por

$$E(k') = \frac{\Lambda_k}{2a}$$

Ponto de $k = \pi$ temos:

$$\frac{1}{2} \Lambda_k = \sqrt{1 + 2\lambda \cos(\pi + k'a) + \lambda^2}$$

$$\cos(\pi + k'a) = -\cos k'a = -\left[1 - \frac{1}{2!} k'^2 a^2 + \dots\right]$$

ou

$$\begin{aligned} \frac{1}{2} \Lambda_k &\cong \sqrt{1 - 2\lambda + \lambda^2 + \lambda(k'^2 a^2)} \\ &= \sqrt{(1-\lambda)^2 + 2(k'^2 a^2)} \end{aligned}$$

com

$$E(k') = \sqrt{\frac{(1-\lambda)^2}{a^2} + 2k'^2}$$

Para λ fora da região crítica, $\lambda \neq 1$, e

$$E(k') \approx \frac{|1-\lambda|}{a},$$

não depende de k' . Mas para a condição crítica

$$\lambda = 1$$

$$E(k') = |k'|,$$

que é o espectro relativístico de partículas sem massa

Encontramos agora a transformação explícita e o estado fundamental. Como temos a condição

$$u_k^2 + v_k^2 = 1,$$

uma parametrização natural é dada por

$$\begin{cases} u_k = \cos \theta_k \\ v_k = \sin \theta_k \end{cases}$$

Das eq's homogêneas obtemos:

$$\begin{cases} 2\lambda \sin k v_k = [1_k + 2(1+\lambda \cos k)] u_k \\ 2\lambda \sin k u_k = [1_k - 2(1+\lambda \cos k)] v_k \end{cases}$$

Def : $C_k \equiv 2(1+2\cos k)$

$$\Rightarrow \frac{v_k}{v_R} = \left(\frac{\lambda_k - C_k}{\lambda_k + C_k} \right) \frac{v_R}{v_k}$$

ou

$$\left(\frac{v_R}{v_k} \right)^2 = \frac{\sin^2 \theta_k}{\cos^2 \theta_k} = \tan^2 \theta_R = \frac{\lambda_k + C_k}{\lambda_k - C_k}$$

É mais conveniente escrever as fórmulas usando o ângulo meio

$$\begin{aligned} \tan 2\theta_k &= \frac{2 \tan \theta_k}{1 - \tan^2 \theta_k} = \frac{2 \left(\frac{\lambda_k + C_k}{\lambda_k - C_k} \right)^{1/2}}{1 - \frac{\lambda_k + C_k}{\lambda_k - C_k}} \\ &= \frac{2 (\lambda_k - C_k)}{\lambda_k - C_k - \lambda_k - C_k} \left(\frac{\lambda_k + C_k}{\lambda_k - C_k} \right)^{1/2} \\ &= \frac{C_k - \lambda_k}{C_k} \frac{\sqrt{\lambda_k^2 - C_k^2}}{\lambda_k - C_k} = -\frac{1}{C_k} \sqrt{\lambda_k^2 - C_k^2} \end{aligned}$$

Temos:

$$\lambda_k^2 - C_k^2 = 4(1+\lambda^2 + 2\lambda \cos k) - 2^2(1+\lambda \cos k)$$

$$= 4 \left[1 + \lambda^2 + 2\lambda \cos k - 1 - 2\lambda \cos k - \lambda^2 \cos^2 k \right]$$

$$= 4 \lambda^2 \sin^2 k, \text{ de onde}$$

| |
|--|
| $\tan 2\theta_k = - \frac{\lambda \sin k}{(1+\lambda \cos k)}$ |
|--|

Também temos:

$$\operatorname{sen} 2\theta_k = \frac{2 \operatorname{tan} \theta_k}{1 + \operatorname{tan}^2 \theta_k}, \quad \cos 2\theta_k = \frac{1 - \operatorname{tan}^2 \theta_k}{1 + \operatorname{tan}^2 \theta_k}$$

$$1 + \operatorname{tan}^2 \theta_k = 1 + \frac{1_k + C_k}{1_k - C_k} = \frac{2 1_k}{1_k - C_k}$$

$$1 - \operatorname{tan}^2 \theta_k = 1 - \frac{1_k + C_k}{1_k - C_k} = - \frac{2 C_k}{1_k - C_k}$$

$$\operatorname{tan} \theta_k = \left(\frac{1_k + C_k}{1_k - C_k} \cdot \frac{1_k - C_k}{1_k - C_k} \right)^{1/2} = \frac{1}{1_k - C_k} 2 \lambda \operatorname{sen} k,$$

Assim obtemos:

| |
|--|
| $\operatorname{sen} 2\theta_k = \lambda \frac{\operatorname{sen} k}{\frac{1}{2} 1_k} = \frac{2 \operatorname{sen} k}{\sqrt{1 + \lambda^2 + 2 \lambda \operatorname{cos} k}}$ |
| $\cos 2\theta_k = - \frac{1 + 2 \operatorname{cos} k}{\sqrt{1 + \lambda^2 + 2 \lambda \operatorname{cos} k}}$ |

Queremos agora obter explicitamente o estado fundamental. Na forma diagonal obtida

$$H = \sum_k \Lambda_k \eta_k^+ \eta_k + \text{cte.},$$

o estado fundamental é o v\'acio dos operadores η_k , isto \'e

Com

$$\begin{aligned}\cos(2\theta_k) &= \cos^2\theta_k - \sin^2\theta_k \\ &= u_k^2 - v_k^2 \\ &= \frac{\epsilon(k)}{\Lambda(k)}\end{aligned}$$

Adicionando

$$u^2 + v_k^2 = 1$$

obtemos:

$$u_k^2 = \frac{1}{2} \left[1 + \frac{\epsilon(k)}{\Lambda(k)} \right],$$

$$v_k^2 = \frac{1}{2} \left[1 - \frac{\epsilon(k)}{\Lambda(k)} \right],$$

em completa analogia com BCS.

¶ Usando analogias com o estado BCS da supercondutividade, construímos o estado fundamental em termos dos operadores (a_k^\dagger, a_k) e do seu vácuo $|0\rangle$. ■

$$\begin{cases} \eta_k |G\rangle = 0, \\ \eta_{-k} |G\rangle = 0 \end{cases}$$

Uma solução para $|G\rangle$ é da forma:

$$|G\rangle = \prod_{k>0} A_k \eta_k \eta_{-k} |0\rangle,$$

onde A_k é uma constante de normalização. Temos que

$$\begin{aligned} \eta_k \eta_{-k} &= (u_k a_k + i v_k a_{-k}^\dagger) (u_k a_{-k} - i v_k a_k^\dagger) \\ &= u_k^2 a_k a_{-k} + i u_k v_k a_{-k}^\dagger a_{-k} + v_k^2 a_{-k}^\dagger a_k^\dagger \\ &\quad - i u_k v_k a_k a_k^\dagger \end{aligned}$$

e operando sobre o真空 $|0\rangle$ dos a_k

$$\eta_k \eta_{-k} |0\rangle = v_k^2 a_{-k}^\dagger a_k^\dagger |0\rangle$$

$$- i u_k v_k (1 - a_k^\dagger a_k) |0\rangle$$

$$= -i v_k (u_k + i v_k a_{-k}^\dagger a_k^\dagger) |0\rangle$$

Procuramos as constantes de normalização:

$$1 = \langle G | G \rangle = \prod_{k>0} v_k^2 \langle 0 | (u_k - i v_k a_k a_{-k}) + A_k |^2$$

$$\cdot (u_k + i v_k a_{-k}^\dagger a_k^\dagger) |0\rangle$$

$$= \prod_{k>0} |A_k|^2 v_k^2 \langle 0 | (u_k^2 + v_k^2 a_k a_{-k} a_{-k}^+ a_k^+) | 0 \rangle$$

Observar que:

$$\begin{aligned} v_k^2 a_{+k} a_{-k} a_{-k}^+ a_k^+ &= v_k^2 a_{-k} a_{-k}^+ a_k a_k^+ \\ &= v_k^2 a_{-k} a_{-k}^+ (1 - a_k a_k^+) \\ &= v_k^2 (1 - a_k^+ a_{-k}) (1 - a_k a_k^+) \end{aligned}$$

$$v_k^2 a_{+k} a_{-k} a_{-k}^+ a_k^+ | 0 \rangle = v_k^2 | 0 \rangle$$

$$1 = \langle G | G \rangle = \prod_k v_k^2 |A_k|^2 \langle 0 | \underbrace{(u_k^2 + v_k^2)}_1 | 0 \rangle$$

$$= \prod_k v_k^2 |A_k|^2 \Rightarrow |A_k|^2 = \frac{1}{v_k^2}$$

Sendo a escolha da fase arbitrária, escrevemos para o estado fundamental normalizado

$$|G\rangle = \prod_{k>0} (u_k + i v_k a_{-k}^+ a_k^+) | 0 \rangle$$

Este estado tem semelhanças grandes com o estado fundamental da teoria BCS para a supercondutividade, onde os pares $(k, -k)$ estão formando a estrutura do mesmo.

Vamos calcular algumas grandezas físicas
(ver trabalho de Pfentz para a solução exata e
para a eq. de estado).

Preliminarmente, encontremos a transf. inversa da

$$\begin{cases} \eta_k = u_k a_k + i v_k a_{-k}^+ \\ \eta_{-k}^+ = u_k a_{-k}^+ + i v_k a_k \end{cases}$$

Em forma compacta:

$$\begin{pmatrix} \eta_k \\ \eta_{-k}^+ \end{pmatrix} = \begin{pmatrix} u_k & i v_k \\ i v_k & u_k \end{pmatrix} \begin{pmatrix} a_k \\ a_{-k}^+ \end{pmatrix}$$

A matriz $\begin{pmatrix} u_k & i v_k \\ i v_k & u_k \end{pmatrix}$ está em $SU(2)$ (matriz de rotação):

$$\det \begin{pmatrix} u_k & i v_k \\ i v_k & u_k \end{pmatrix} = u_k^2 + v_k^2 = 1 \quad |a|^2 + |b|^2 = 1$$

A matriz inversa tem formato $\begin{pmatrix} a^* & -b \\ b^* & a \end{pmatrix}$, de maneira que

$$\begin{pmatrix} a_k \\ a_{-k}^+ \end{pmatrix} = \begin{pmatrix} u_k & -i v_k \\ -i v_k & u_k \end{pmatrix} \begin{pmatrix} \eta_k \\ \eta_{-k}^+ \end{pmatrix}$$

ou então:

$$\begin{cases} a_k = u_k \eta_k - i v_k \eta_{-k}^+ \\ a_{-k}^+ = -i v_k \eta_k + u_k \eta_{-k}^+ \end{cases}$$

Queremos calcular o valor esperado da componente total

$$S_2 = \sum_{-N}^N C_2(m)$$

Da transformação de J-W temos o resultado:

$$C^+(m)C(m) = \frac{1}{2} [1 + C_3(m)] \Rightarrow 2C^+(m)C(m) - 1 = C_3(m)$$

ou

$$S_3 = \sum_{-N}^N [2C^+(m)C(m) - 1]$$

Transformando para os a_k 's:

$$\sum_m C^+(m)C(m) = \frac{1}{2N+1} \sum_k \sum_{k'} \sum_m e^{i k m - i k' m} a_k^+ a_{k'}^-$$

$$= \sum_k \sum_{k'} \delta_{kk'} a_k^+ a_{k'}^- = \sum_k a_k^+ a_k^-$$

Assim, obtemos

$$\begin{aligned} S_3 &= 2 \sum_k a_k^+ a_k^- - (2N+1) \\ &= 2 \sum_{k>0} (a_k^+ a_k^- + a_{-k}^+ a_{-k}^-) - (2N+1) \end{aligned}$$

Calculamos este operador na representação (η, η^+) :

$$\begin{aligned}
 a_k^+ a_k &= (u_k \eta_k^+ + i v_k \eta_{-k}^-) (u_k \eta_k^+ - i v_k \eta_{-k}^-) \\
 &= u_k^2 \eta_k^+ \eta_k^+ - i u_k v_k \eta_k^+ \eta_{-k}^+ + i u_k v_k \eta_{-k}^- \eta_k^+ + \\
 &\quad + v_k^2 \eta_{-k}^- \eta_{-k}^+
 \end{aligned}$$

Os termos com η à direita se cancelam operando sobre o estado fundamental. Ficam apenas

$$\begin{aligned}
 &-i u_k v_k \eta_k^+ \eta_{-k}^+ + v_k^2 \eta_{-k}^- \eta_{-k}^+ \\
 &= -i u_k v_k \eta_k^+ \eta_{-k}^+ + v_k^2 [1 - \eta_{-k}^+ \eta_{-k}^-]
 \end{aligned}$$

O mesmo é verdade para os termos com η^+ à esquerda, na hora de fazer o produto escalar $\langle G | \dots | G \rangle$.

Resultado:

$$\begin{aligned}
 \langle G | S_3 | G \rangle &= 2 \sum_k v_k^2 - (2N+1) \\
 &= \sum_k (2v_k^2 - 1)
 \end{aligned}$$

$$\text{temos } v_k^2 = \sin^2 \theta_k = \frac{1}{2} (1 - \cos 2\theta_k)$$

$$= \frac{1}{2} - \frac{1}{2} \cos 2\theta_k$$

$$= \frac{1}{2} + \frac{1 + \lambda \cos k}{2 \sqrt{1 + \lambda^2 + 2\lambda \cos k}}$$

$$2v_k^2 - 1 = \frac{1 + \lambda \cos k}{\sqrt{1 + \lambda^2 + 2\lambda \cos k}}$$

$$\langle S_3 \rangle = \sum_k \frac{1 + \lambda \cos k}{\sqrt{1 + \lambda^2 + 2\lambda \cos k}}$$

A soma pode ser avaliada usando o limite contínuo:

$$\sum_k \rightarrow \frac{L}{2\pi} \int dk ,$$

onde L é o volume do sistema, $L = (2N+1)a$

A magnetização por unidade de volume é

$$\frac{1}{L} \langle S_3 \rangle = m_3 = \frac{1}{2\pi} \int_{-\pi}^{\pi} dk \frac{1 + \lambda \cos k}{\sqrt{1 + \lambda^2 + 2\lambda \cos k}}$$

Valores especiais:

$$m_3(0) = 1 ,$$

$$m_3(1.) = \frac{2}{\pi} ,$$

$$m_3(\infty) = 0 .$$